



Foto 1.- En la zona del Callao de Méndez por debajo de la casa en ruinas se observa el aglomerado lahárico (1) y sobre él, el apilamiento de coladas de Serie III (15) coronado por fonolitas máficas (18).



Foto 10.- Límite entre dos unidades de coladas piroclásticas de tobas sálicas (5). En la base de la unidad superior se observa una mayor abundancia de fragmentos líticos gruesos. Zona del Barranco de Ruíz.



Foto 11.- Banda límite basal entre dos unidades de coladas piroclásticas sálicas (5). Corresponden a la franja delimitada por diaclasas subhorizontales en el centro de la foto. Zona del Barranco de Ruíz.



Foto 12.- Aspecto de detalle de tobas sálicas poligénicas soldadas (5). Los - clastos son fundamentalmente de rocas traquítico-fonolíticas y se - encuentran empastados por una matriz cinerítica clara. Zona del Ba- rranco de Ruiz.



Foto 13.- Abundantes enclaves fonolíticos de pequeño tamaño en una colada - fonolítica (7) de la Serie Cañadas. La fonolita de la colada es de color más claro que las inclusiones. Inmediaciones de La Guancha.



Foto 14.- Depósitos de pómez (7) retrabajados con laminación paralela fina. La laminación está marcada por diferencias en la granulometría de los - clastos de pómez y de otros componentes líticos. Pista desde el Caserío de las Rosas.



Foto 15.- Escarpe correspondiente al afloramiento de una potente colada Traquítica-fonolítica (9) en las paredes del Macizo de Tigaiga. Carretera entre Icod el Alto y Los Realejos.



Foto 16.- Depósitos de tobas pumíticas estratificadas y soldadas (10). Se aprecian diferencias en la granulometría de los diferentes niveles. El techo se encuentra rubefactado por efecto de la colada suprayacente. Carretera entre Icod el Ato y Los Realejos.



Foto 17.- Lajeado subhorizontal en la base de una colada de rocas de composición traquibasáltica (11). El lajeado se desarrolla en la zona masiva de la colada inmediatamente sobre los materiales fragmentarios de la morrena basal de la colada.



Foto 18.- Base de un paquete de materiales laháricos de composición fonolítica (11) apoyando sobre el conjunto fragmentario de la morrena de una colada de rocas traquibasálticas. Carretera entre la Guancha e Icod el Alto.



Foto 19.- Afloramiento de la colada fonolítica (11) de la Serie Cañadas. En primer término se observa el conjunto fragmentario caótico asociado a la colada masiva lajeada que aparece en segundo término. Pista de la Corona sobre Icod el Alto.



Foto 2.- Afloramiento de brechas laháricas poligénicas con clastos líticos de composición intermedia y básica (1). Forma parte del conjunto brechoí de denominado Mortalón en la terminología local. Zona de la Punta de El Guindaste.



Foto 20.- Disyunción columnar en los basaltos olivínicos del tramo superior - del Macizo de Tigaiga (13). Afloramiento en la Pista de La Corona.



Foto 21.- Coladas de basaltos de la Serie III (15) y de fonolitas máficas (18) (a techo) sobre un potente paquete masivo de brechas laháricas de composición sálica e intermedia - (Mortalón). A techo de las brechas se encuentra un paquete de basaltos "pahoehoe"- rubefactados por las coladas superiores.

rubefactados por las coladas superiores.



Foto 22.- Bajando hacia la rambla de Castro se observa el contacto de los Bau saltos de Serie III (15) con los depósitos de avalancha (19) rubeufactados por el paso de la colada basáltica.



Foto 23.- Coladas de basaltos (15) de la Serie III ca
nalizadas en el cauce de un pequeño barran-
co. Zona de la urbanización "La Romántica".



Foto 24.- Detalle de las coladas de basaltos plagioclásicos (15) con estructuras tipo "pahoehoe" en la playa de Santo Domingo. Estas coladas constituyen la parte más baja visible de la Serie III en la hoja de estudio. Aflorando también en otros puntos de la costa como en el Puerto de la Cruz y al O. de Punta Brava en Piedra Gorda.



Foto 25.- Al S. de La Perdoma. Apilamiento de coladas de basaltos de Serie III (15) adaptándose al relieve.



Foto 26.- Paquetes de materiales pumíticos retrabajados (16) y estratificados.
Taludes de la carretera de Santa Cruz a Icod de los Vinos km. 41.



Foto 27.- En Los Realejos en las obras del Mercado. En la base materiales pumíticos (16). Sobre ellos se encuentra un manto de arroyada con cantos heterométricos de diversa procedencia (37).



Foto 28.- Alternancia de materiales pumíticos (16) con pómez resedimentados - en las obras de un solar en la zona del Burgado al S. de Punta Gor-
da.



Foto 29.- En el Puerto de la Cruz vista de intercalación de sedimentos (17) y sobre ellos potente colada de fonolitas maficas (18).



Foto 3.- Aspecto de detalle de la brecha lahárica poligénica "Mortalón" (1). Se observan clastos angulosos y subredondeados de rocas traquibasálticas basálticas y fonolíticas en una matriz volcanogénica de color pardo. Zona de La Punta de El Guindaste.



Foto 30.- Detalle de los materiales sedimentarios (17) con encalichamientos y rellenos de canal. - Mismo talud de la fotografía anterior.



Foto 31.- Aspecto caótico de depósitos de avalancha (19) tipo "debris-flow" - con grandes bloques de carácter poligénico empastados por una matriz terrosa marrón. Taludes de la carretera de Santa Cruz de Icod de Los Vinos km. 42.



Foto 32.- Hueco correspondiente al molde de un tronco, enterrado en depósitos de avalancha (19) tipo "debris-flow". Taludes de la carretera de -- Santa Cruz a Icod de los Vinos km. 42.



Foto 33.- Fragmento de colada con restos de un almagre arrastrados en un depósito de avalancha (19) de tipo "debris-flow". Taludes de la carretera de Santa Cruz a Icod de los Vinos km. 42.



Foto 34.- Afloramientos de depósitos brechoides (19) correspondientes a unidades de avalancha de tipo "debris-flow".



Foto 35.- Cono degradado de escorias traquibasálticas recubierto de pinocha, pomez y cenizas (22). En la zona de La Hoya del Burrero al S. de La Guancha.



Foto 36.- A. S. de La Orotava en el Barranco del Dornajito junto al borde -- oriental de la hoja. Depósitos de arenas con estratificación cruzada (25). Los materiales son de diversa procedencia, entre ellos hay -- clastos de pómez.

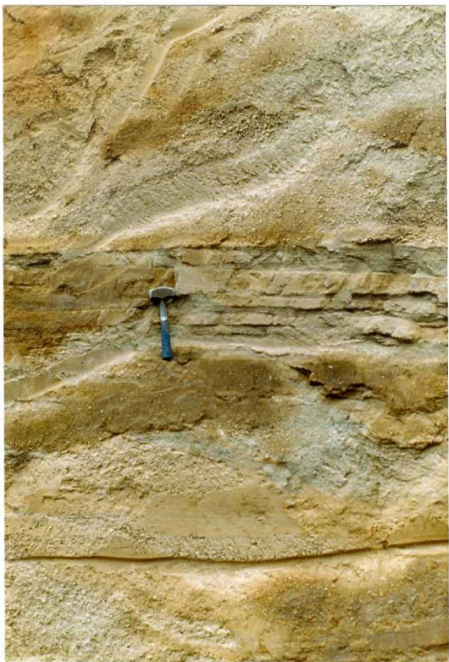


Foto 37.- Paquete de arena laminadas en un conjunto de materiales pumíticos resedimentados (25). Zona de La Cabezada, al Sur de La Guancha.



Foto 38.- Colada de traquitas maficas (27) de la Serie IV sobre un conjunto de depósitos sedimentarios de rambla. San Juan de la Rambla.



Foto 39.- Colada traquítico-fonolítica (27) de Serie IV sobre un nivel de al
magre, situado a techo de una colada de basaltos de la Serie III.
Acantilado de San Juan de La Rambla.



Foto 4.- Vista panorámica del Valle La Orotava y del Macizo del Tigaiga. Observese los derrubios de Ladera asociados al fuerte escarpe. Al fondo de la fotografía aparece el Teide.



Foto 40.- Laminaciones de flujo subhorizontales en una colada de fonolitas -- (30) de la Serie IV. La Guancha.



Foto 41.- En la trinchera de la Carretera de Icod al Puerto de la Cruz junto al Barrio del Buen Paso. Se observa disyunción esférica y en lajas en la potente colada de fonolitas del Teide reciente. (32).



Foto 42.- Vista del conjunto del Valle de La Orotava y La ciudad del Puerto de La Cruz. Se observa la alineación de conos de la Serie IV de época guanche (34) de las Gañanias a la derecha de la fotografía, la Montaña de Los Frailes en el centro y junto a ella el cono volcánico de La Horca que destaca por la edificación realizada al borde del cráter.



Foto 43.- Vista de los conos de Serie IV de Los Frailes (izquierda de la fotografía) y de La Horca en la parte derecha.



Foto 44.- Paquetes estratificados de depósitos de rambla (37) apoyados sobre brechas laháricas (Mortalón) de la Serie Cañadas. Afloramientos en la Punta de El Guindaste.



Foto 5.- Apilamiento de coladas delgadas de basaltos "pahoehoe" (2) de la Serie Cañadas. Pistas en el borde oriental del Macizo de Tigaiga.



Foto 6.- Apilamiento de coladas básicas y sálicas (2,3) con intercalaciones - de tobas sálicas. Barranco de Ruiz.

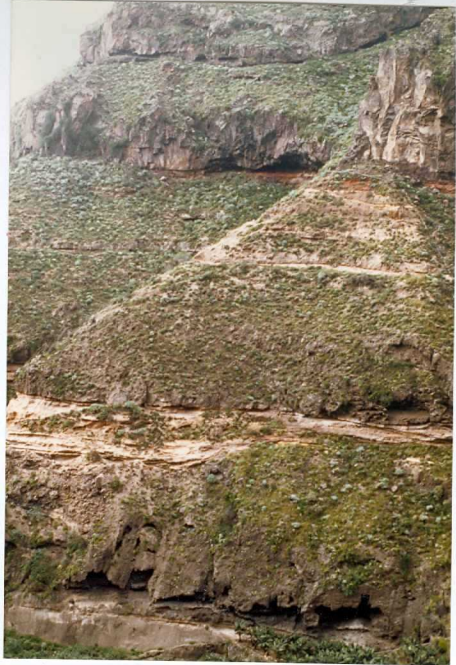


Foto 7.- Potentes paquetes de tobas pumíticas estratificadas bajo coladas de traquibasaltos - (3) que producen rubefacciones sobre ellas. Barranco de Ruiz.



Foto 8.- Afloramiento de ignimbritas fonolíticas (4).
Presentan una disyunción columnar grosera en
bloques con aristas agudas. San Juan de La -
Rambla.



Foto 9.- Aspecto de detalle de las ignimbritas fonolíticas (4) de San Juan de La Rambla. Se aprecian los fragmentos líticos de fonolita grisáceos-verdosos inmersos en una matriz soldada de analoga composición. San Juan de La Rambla.